# Exercice 2.2 : Matrice de passage

 $e_r = \cos\theta e_x + \sin\theta e_y$  et  $e_\theta = -\sin\theta e_x + \cos\theta e_y$ 

On exprime la base cylindrique dans la base cartésienne, ce qui donne la matrice de passage définie par  $X_{cyl} = P_{\theta}X_{cart}$  où  $X_{cart}$  et  $X_{cyl}$  sont les composantes d'un vecteur X.

$$\begin{pmatrix} e_r \\ e_\theta \\ e_z \end{pmatrix} = \begin{pmatrix} \cos\theta & \sin\theta & 0 \\ -\sin\theta & \cos\theta & 0 \\ 0 & 0 & 1 \end{pmatrix} \cdot \begin{pmatrix} e_x \\ e_y \\ e_z \end{pmatrix} \text{ d'où } P_\theta = \begin{pmatrix} \cos\theta & \sin\theta & 0 \\ -\sin\theta & \cos\theta & 0 \\ 0 & 0 & 1 \end{pmatrix}.$$

On remarque que les colonnes de  $P_{\theta}$  sont les coordonnées de la base cartésienne dans la base cylindrique (et pas l'inverse!).

Inverser  $P_{\theta}$  revient à changer  $\theta$  en  $-\theta$  ( $P_{\theta}$  correspond aussi à la rotation d'angle  $-\theta$  autour de z, son inverse correspond à la rotation d'angle  $\theta$  autour de z).

On obtient 
$$P_{\theta}^{-1} = \begin{pmatrix} \cos\theta & -\sin\theta & 0 \\ \sin\theta & \cos\theta & 0 \\ 0 & 0 & 1 \end{pmatrix}$$
 Ainsi  $P^{-1} = P^t$  et  $X_{cart} = P_{-\theta}X_{cyl}$  (formule 2.17 du cours).

Pour avoir les coordonnées  $X_{cyl}$  du vecteur X dans la base cylindrique connaissant  $X_{cart}=(3,\sqrt{3},5)$ , il faut faire l'opération suivante :  $X_{cyl}=P_{\theta}X_{cart}$ . On obtient alors  $-3\sin\theta+\cos\theta\sqrt{3}=0$  car la deuxième coordonnée en cylindrique est nulle par définition, l'angle étant dans la matrice elle-même. Ainsi,  $\theta=\frac{\pi}{6}$  et on calcule alors r qui vaut  $r=\sqrt{x^2+y^2}=2\sqrt{3}$  et z=5.

Le résultat est donc 
$$X$$
cyl =  $\begin{pmatrix} 2\sqrt{3} \\ 0 \\ 5 \end{pmatrix}$  et  $\theta = \frac{\pi}{6}$ .

Le tenseur  $\sigma$  exprimée dans la base cylindrique définie par  $\theta = \frac{\pi}{6}$  a pour composantes :

$$\sigma_{cyl} = P_{\theta} \sigma_{cart} P_{\theta}^{t} = P_{\theta} \sigma P_{-\theta} = \begin{pmatrix} \cos\theta & \sin\theta & 0 \\ -\sin\theta & \cos\theta & 0 \\ 0 & 0 & 1 \end{pmatrix} \cdot \begin{pmatrix} 10 & 5\sqrt{3} & 0 \\ 5\sqrt{3} & 0 & 0 \\ 0 & 0 & 10 \end{pmatrix} \cdot \begin{pmatrix} \cos\theta & -\sin\theta & 0 \\ \sin\theta & \cos\theta & 0 \\ 0 & 0 & 1 \end{pmatrix} = \begin{pmatrix} 15 & 0 & 0 \\ 0 & -5 & 0 \\ 0 & 0 & 10 \end{pmatrix}$$

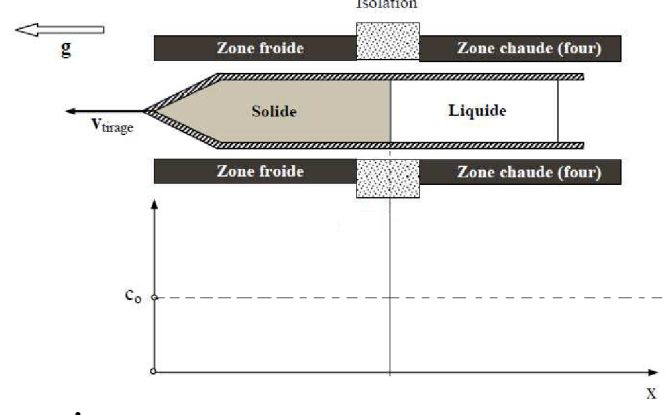
Le tenseur  $\sigma$  est diagonale dans le repère (O,x,y,z) tourné de  $\theta = \frac{\pi}{6}$  autour de  $e_z$ .

# Exercice 2.3: Moment d'inertie d'un disque de hauteur H

On place un repère cylindrique avec son origine au centre de la surface inférieure du disque et l'axe z selon l'axe de rotation du disque i.e. son axe de symétrie.

$$\begin{split} & \boldsymbol{b} = \rho \int \boldsymbol{r} \times \boldsymbol{v} \; dV \; \text{ avec } \; \boldsymbol{r} = r\boldsymbol{u}_r + z\boldsymbol{u}_z \; \text{et } \boldsymbol{v} = r\omega\boldsymbol{u}_\theta \\ & \boldsymbol{b} = \rho\omega \int \left(r^2\boldsymbol{u}_z - zr\boldsymbol{u}_r\right) dV = \; \left(\rho\omega \int r^2rd\theta drdz\right)\boldsymbol{u}_z - \left(\rho\omega \int zr^2\boldsymbol{u}_r drd\theta dz\right) \\ & \rho\omega \int zr^2\boldsymbol{u}_r drd\theta dz = 0 \; \text{car} \; \boldsymbol{u}_r = \boldsymbol{u}_r \left(\cos\theta,\sin\theta,0.\right) \\ & \boldsymbol{b} = \left(\rho\omega \int r^2 2\pi r drdz\right)\boldsymbol{u}_z = J\omega\boldsymbol{u}_z \; \text{ avec } J = \frac{2\pi\rho HR^4}{4} = \frac{MR^2}{2} \\ & \text{Si le disque est creux de rayon intérieur R1 et de rayon extérieur R2, alors J vaut :} \\ & J = \frac{2\pi\rho H\left(R_2^4 - R_1^4\right)}{4} = \frac{M\left(R_2^2 + R_1^2\right)}{2} \end{split}$$

Exercice 2.4 : Solidification dirigée dans un four à gradient (four Bridgman)



# Représentation Lagrangienne:

Soit un point A (une particule de matière) situé dans le liquide et de composition  $c_0$  au temps  $t_0$ . En représentation Lagrangienne, on suit A au cours du temps. Puisque le monocristal est tiré vers la gauche à une vitesse v, A s'approche de l'interface à la vitesse v et voit sa composition augmenter jusqu'à une valeur  $c^*$  à l'interface. A la solidification, c chute à Co et reste à cette valeur ensuite.

#### Représentation Eulérienne:

On définit, pour cette représentation, une fenêtre d'observation fixe dans le repère lié au four et centrée sur l'interface (immobile) qui nous intéresse. On voit alors « s'écouler » tous les points qui passent de l'état liquide à l'état solide et on observe la variation de concentration autour du front de solidification plan positionnée en x=0.

Pour ce genre de problème, la représentation Eulérienne est la plus adéquate puisqu'il s'agit d'un phénomène où seul ce qui se passe à l'interface nous intéresse, peu importe la position initiale des points dans le procédé.

On résout  $D\frac{d^2c_1}{dx^2} + v\frac{dc_1}{dx} = 0$  avec les deux conditions aux limites:  $C_1 = c0/k$  en x = 0 et  $C_0$  en l'infini.

Polynôme caractéristique :  $Dr^2 + vr = 0$ ; les racines sont  $r_1 = 0$  et  $r_2 = -\frac{v}{D}$ 

On prend le repère eulérien tel que x=0 correspond à l'interface. D'où

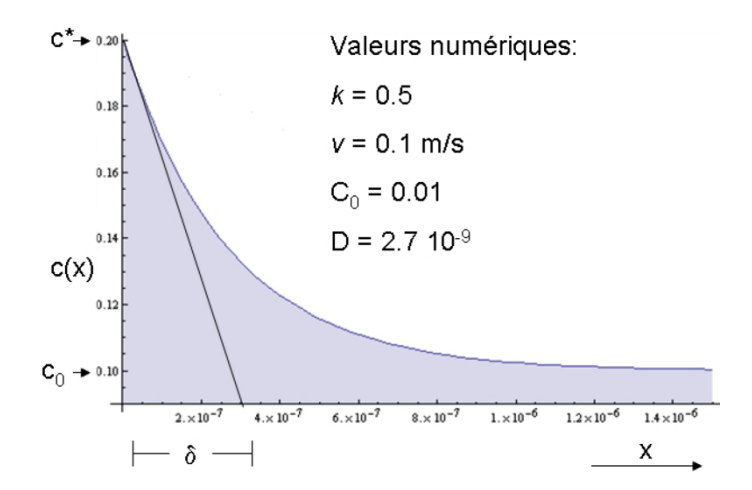
$$c_1(x) = Aexp(r_1x) + Bexp(r_2x) = A + Bexp\left(\frac{-vx}{D}\right)$$

Conditions aux limites :  $c_1(x=0) = c_1^* = c_0/k$  et  $c_1(x=\infty) = c_0$ . D'où

$$c_1(x) = c_0 + (c_1^* - c_0) \exp\left(\frac{-vx}{D}\right) = c_0 + \frac{c_0}{k}(1-k) \exp\left(\frac{-x}{\delta}\right)$$

avec  $\delta = D/V$ , longueur de diffusion (rapport entre diffusion et transport).

La figure ci-dessous montre le profil de concentration aux alentours de l'interface pour un jeu de valeur numériques. L'épaisseur de la couche limite est de l'ordre de 0.2 μm.



Le passage de la représentation Eulérienne à la représentation Lagrangienne est effectué en exprimant la position en fonction du temps,  $x = x_0 - v(t-t_0)$  (en gardant l'axe x orienté comme sur l'énoncé) avec  $x_0$  représentant la position initiale de la particule suivie. L'équation décrivant la concentration devient alors une fonction du temps et de la position initiale :

$$c_1(x_0,t) = c_0 + \frac{c_0}{k}(1-k)exp\left(\frac{-(x_0-v(t-t_0))}{\delta}\right)$$

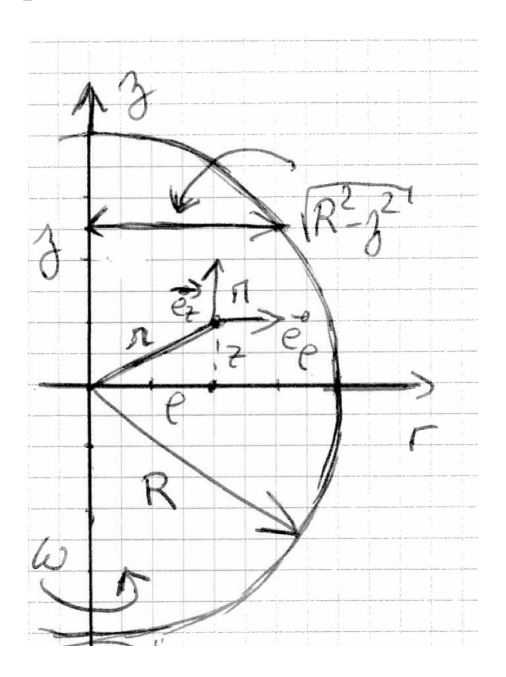
En suivant une particule de matière initialement située dans le domaine liquide, les variations de la concentration sont alors les suivantes :

La concentration augmente avec le temps, selon une loi exponentielle, jusqu'à la valeur  $\frac{c_0}{k}$  à l'interface, x=0.

Une fois l'interface liquide/solide franchie, la concentration est constante et égale à  $c_0$ .

NB: le coefficient de diffusion du soluté dans le solide est de l'ordre de  $10^{-14}$  m<sup>2</sup>/s est 4 ordres de grandeur plus faible que le coefficient de diffusion du soluté dans le liquide de l'ordre de  $10^{-10}$  m<sup>2</sup>/s. Ainsi on néglige la diffusion du soluté dans le solide.

Exo 2.7: moment cinétique d'une sphère en rotation En coordonnées cylindriques :



On pose  $\gamma$  = masse volumique pour ne pas confondre avec  $\rho$ 

$$\vec{r} = \rho \vec{e}_{_{\rho}} + z \vec{e}_{_{z}}, \ \vec{v} = \rho \omega \vec{e}_{_{\theta}}, \ \vec{r} \times \vec{v} = \rho^2 \omega \vec{e}_{_{z}} \text{-} \ \rho z \omega \vec{e}_{_{\rho}}$$

$$\vec{b} = \int_{\Omega} \gamma(\rho^2 \omega \vec{e}_z - \rho z \omega \vec{e}_\rho) dV$$
 avec  $dV = \rho d\theta d\rho dz$ 

$$\vec{b} = 2\pi\gamma\omega\int_{-R}^{R}\int_{0}^{\sqrt{R^{2}-z^{2}}}\rho^{3}d\rho\vec{e}_{z}dz - \gamma\omega\int_{-R}^{R}\int_{0}^{\sqrt{R^{2}-z^{2}}}\rho^{2}zdz\left(\int_{0}^{2\pi}\vec{e}_{\rho}d\theta\right)$$

On remarque que  $\int\limits_0^{2\pi} \vec{e}_{\rho} \begin{pmatrix} \cos\theta \\ \sin\theta \\ 0 \end{pmatrix} d\theta = \vec{0}$  ce qui annule le second terme.

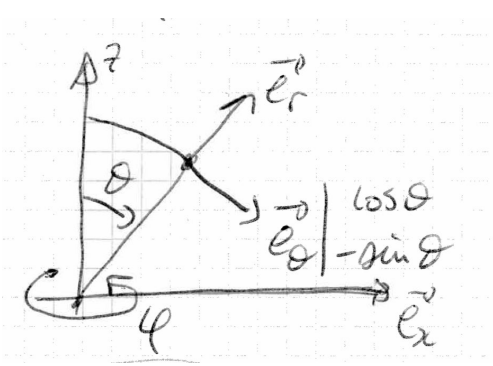
$$\vec{b} = 2\pi\gamma\omega(\int_{-R}^{R} \frac{(R^2 - z^2)^2}{4} dz) \vec{e}_z = \frac{2\pi\gamma\omega}{4} \int_{-R}^{R} (R^4 - 2z^2R^2 + z^4) dz \vec{e}_z$$

$$\vec{b} = \frac{\pi \gamma \omega}{2} (2R^5 - 4R^2 \frac{R^3}{3} + 2\frac{R^5}{5}) \vec{e}_z = \pi \gamma \omega R^5 (1 - 2/3 + 1/5) \vec{e}_z$$

$$\vec{b} = \frac{8\pi\gamma\omega R^5 \vec{e}_z}{15} \text{ or } m = \frac{4}{3}\pi R^3 \gamma$$

$$\vec{b} = J\omega \vec{e}_z \text{ avec } J = \frac{2}{5} mR^2$$

# En coordonnées sphériques :



On pose  $\gamma = \text{masse volumique pour ne pas confondre avec } \rho$   $\vec{b} = \gamma \int \vec{r} \times \vec{v} dV$ ,  $\vec{r} = r\vec{e}_r$  et  $\vec{v} = \rho \omega \vec{e}_{\phi} = r \sin\theta \omega \vec{e}_{\phi}$  avec  $\rho = r \sin\theta$   $\vec{r} \times \vec{v} = r \vec{e}_r \times r \sin\theta \omega \vec{e}_{\phi} = -r^2 \sin\theta \vec{e}_{\theta}$   $\vec{b} = -\gamma \omega \int r^2 \sin\theta \vec{e}_{\theta} dV$  avec  $dV = dr(r \sin\theta d\phi)(r d\theta) = r^2 \sin\theta dr d\theta d\phi$   $\vec{b} = -\gamma \omega \int r^4 \sin^2\theta \vec{e}_{\theta} dr d\theta d\phi$   $\vec{b} = -\gamma \omega \int_0^\pi r^4 \sin^2\theta \vec{e}_{\theta} dr d\theta d\phi$   $\vec{b} = 2\pi\gamma \omega \int_0^\pi \frac{R^5}{5} \sin^3\theta d\theta = \frac{2\pi\gamma \omega R^5}{5} \int_0^\pi \sin^3\theta d\theta = \frac{2\pi\gamma \omega R^5}{5} \times \frac{4}{3} = \frac{2}{5} mR^2 \omega$   $\vec{b}_x = \vec{b}_y = 2\pi\gamma \omega \int_0^\pi r^4 \sin^2\theta \cos\theta dr d\theta = 2\pi\gamma \omega \frac{R^5}{5} \left[ \frac{\sin^3\theta}{3} \right]_0^\pi = 0$  soit  $\vec{b} = J\omega \vec{e}_z$  avec  $J = \frac{2}{5} mR^2$